

# LncRNA SNHG3 对宫颈癌细胞 SiHa 增殖、迁移及侵袭的影响

孙子久,胡 静,胡 凯,唐 敏,孙恃雷,方玉婷,余伙梅,张 彦

重庆医科大学检验医学院,临床检验诊断学教育部重点实验室,重庆 400016

**摘要:**目的 探究长链非编码 RNA(lncRNA)小核仁 RNA 宿主基因 3(SNHG3)对人宫颈癌细胞系 SiHa 增殖、迁移及侵袭的影响。**方法** 利用 GEO 数据库芯片分析 lncRNA SNHG3 在正常宫颈组织和宫颈癌样本中的表达;通过实时定量 PCR 检测 lncRNA SNHG3、上皮-间质转化标志物 N-cadherin、Snail、Vimentin 和 E-cadherin 基因表达水平;通过 Western blot 检测 N-cadherin、Snail、Vimentin 和 E-cadherin 蛋白表达水平;在 SiHa 细胞中转染 siRNA 干扰片段来敲低 lncRNA SNHG3, 并采用 qRT-PCR 验证转染效率;通过 CCK8 实验检测细胞增殖能力,划痕愈合实验检测细胞横向迁移能力,Transwell 小室实验检测细胞纵向迁移及侵袭能力。**结果** lncRNA SNHG3 在宫颈癌组织及细胞系中高表达;敲低 lncRNA SNHG3 后,明显抑制 SiHa 细胞的增殖能力( $P<0.001$ )、迁移能力( $P<0.01$ )和侵袭能力( $P<0.001$ );qRT-PCR 和 Western blot 结果显示敲低 lncRNA SNHG3 可下调 N-cadherin、Snail 和 Vimentin 表达水平( $P<0.001$ ),同时上调 E-cadherin 表达水平( $P<0.001$ )。**结论** lncRNA SNHG3 可通过激活 EMT 通路促进宫颈癌细胞 SiHa 增殖、迁移及侵袭能力。

**关键词:**宫颈癌;长链非编码 RNA;SNHG3;增殖;迁移;侵袭

## Role of long noncoding RNA SNHG3 in regulating proliferation, migration and invasion of cervical cancer SiHa cells

SUN Zijiu, HU Jing, HU Kai, TANG Min, SUN Shilei, FANG Yuting, YU Huomei, ZHANG Yan

Key Laboratory of Clinical Laboratory Diagnostics, Ministry of Education, College of Laboratory Medicine, Chongqing Medical University, Chongqing 400016, China

**Abstract:** Objective To investigate the regulatory role of the long non-coding RNA (lncRNA) small nucleolar host gene 3 (SNHG3) in proliferation, migration and invasion of human cervical cancer cell line SiHa. Methods Array data were retrieved from GEO database to analyze the expression levels of SNHG3 in cervical cancer and adjacent normal tissues. SiHa cells were transfected with a small interfering RNA (siRNA) targeting SNHG3, and the changes in the transcriptional levels of lncRNA SNHG3 and the epithelial-mesenchymal transition (EMT) markers N-cadherin, Snail, vimentin and E-cadherin were detected using real-time quantitative PCR; the protein expressions of N-cadherin, Snail, vimentin and E-cadherin were determined using Western blotting. Cell counting kit-8 (CCK8) assay was utilized to assess the proliferation capacity of the transfected cells. Wound healing assay and Transwell assay were performed to evaluate the transversal and longitudinal migration and invasion abilities of the cells. Results SNHG3 was over-expressed in cervical cancer tissues and SiHa cells. In SiHa cells, knocking down SNHG3 significantly inhibited the proliferation ( $P<0.001$ ), migration ( $P<0.01$ ) and invasion abilities ( $P<0.001$ ) of the cells, down-regulated the expression levels of N-cadherin, Snail and vimentin ( $P<0.001$ ) and up-regulated the expression of E-cadherin ( $P<0.001$ ). Conclusion SNHG3 may promote the proliferation, migration and invasion of SiHa cells by activating the EMT signaling pathway.

**Keywords:** cervical cancer; long non-coding RNA; small nucleolar host gene 3; proliferation; migration; invasion

宫颈癌是一种致死率较高的女性恶性肿瘤,每年约有 53 万新发病例和 27 万死亡病例<sup>[1]</sup>。每年死于宫颈癌的患者有 85% 来自不发达国家或发展中国家,低收入和中等收入国家的宫颈癌病死率是高收入国家的 18 倍<sup>[2-4]</sup>,这表明研究宫颈癌进展的分子机制十分必要<sup>[5]</sup>。随着测序技术的进步,越来越多的非编码 RNA(ncRNA)被发现。其中长链非编码 RNA(lncRNA)是一类长度超过 200 个核苷酸的非编码 RNA。研究表明,长链非编码 RNA 参与多种生物进程,如调控基因表达、亚细胞结构和蛋白复合物的稳定等<sup>[6]</sup>。近年来,越来越多的研究表

明长链非编码 RNA 在调节包括宫颈癌在内的人类恶性肿瘤发生发展中起着至关重要的作用<sup>[7]</sup>。

小核仁 RNA 宿主基因 3(SNHG3)是一个新发现的位于 1p36.1 的 lncRNA<sup>[8]</sup>。近来一项生物信息学分析显示 SNHG3 可能在调控 RNA 剪接、tRNA 处理、信号转导、细胞粘附、转录和凋亡等方面发挥重要作用<sup>[9]</sup>。目前已有文献报道,在 lncRNA SNHG3 启动子上存在与转录因子 E2F1 结合的位点,E2F1 激活 SNHG3 后,可通过 TGF-β 信号通路和 IL-6/JAK2/STAT3 信号通路促进小鼠非小细胞肺癌细胞系的增殖和迁移,从而促进肺癌进展<sup>[10]</sup>。在乳腺癌中,lncRNA SNHG3 可通过 SNHG3/miR-384/肝癌衍生生长因子轴促进细胞增殖和侵袭<sup>[11]</sup>。此外,lncRNA SNHG3 可通过 SNHG3/miRNA-151a-3p/RAB22A 轴调控骨肉瘤的侵袭和迁移<sup>[12]</sup>。而在前列腺癌细胞中,lncRNA SNHG3 可与 miR-577 竞争性结合

收稿日期:2021-01-28

基金项目:国家自然科学基金(81974449)

Supported by National Natural Science Foundation of China (81974449).

作者简介:孙子久,在读硕士研究生,E-mail: Sun\_zijiu@163.com

通信作者:张 彦,博士,E-mail: zy2753@hotmail.com

并上调前列腺癌SMURF1表达,从而达到促癌作用<sup>[13]</sup>。然而, lncRNA SNHG3在宫颈癌中的作用尚未见报道,其在宫颈癌细胞中是否同样发挥促癌的作用有待深入研究。因此,本研究拟在人宫颈癌SiHa细胞中探讨lncRNA SNHG3对SiHa细胞增殖、迁移及侵袭能力的影响及分子机制。

## 1 材料和方法

### 1.1 细胞与试剂

人宫颈癌细胞SiHa和人正常上皮细胞HaCaT由重庆医科大学检验医学院保存,DMEM高糖培养基(HyClone);胎牛血清(FBS)(Gibco);Transwell小室(康宁);TRIZOL试剂,Lipofectamine™ 2000转染试剂(Invitrogen);逆转录及PCR相关试剂(TaKaRa);Western blot及蛋白质提取相关试剂均(碧云天);ECL发光液(Millipore);鼠抗人β-actin抗体(钟鼎生物);兔抗人Vimentin,Snail抗体(Cell Signaling Technology),兔抗人E-cadherin,N-cadherin(Immunoway);二抗(山羊

抗兔IgG/HRP标记,山羊抗鼠IgG/HRP标记)(北京义翘神州生物);Q-PCR引物由北京擎科新业生物技术有限公司合成;LncRNA SNHG3小干扰RNA套装由上海吉玛制药技术有限公司设计并合成。

### 1.2 方法

**1.2.1 细胞培养** 正常上皮细胞HaCaT和宫颈癌细胞SiHa用DMEM高糖培养基(含100mL/L FBS、1000U/mL氨苄青霉素、100mg/mL卡那链霉素)在37℃、50mL/L二氧化碳的孵箱中静置培养。每2d用胰酶消化传代。

**1.2.2 小干扰片段转染及分组** 将处于对数生长期的宫颈癌细胞SiHa消化并接种于6孔细胞板(6×10<sup>5</sup>/孔),待融合度至65%~75%,更换无血清无抗生素的DMEM培养基,依照试剂盒说明书利用Lipofectamine™ 2000法分别转染细胞,转染4~6h后将培养基更换为含培养基和抗生素的培养基,24~48h后收集细胞进行下一步实验。实验中敲低实验分为对照组(siRNA-NC)和实验组(siRNA-1、2),siRNA序列见表1。

表1 siRNA序列

Tab.1 Sequence of siRNA

Name	Forward primer (5'→3')	Reverse primer (5'→3')
siRNA-NC	UUCUCCGAACGUGUCACGUTT	ACGUGACACGUUCGAGAATT
siRNA-1	GCAUUUAGCUAGGAAUGCATT	UGCAUCCUAGCUAAAUGCTT
siRNA-2	CUAGCAUGAUAGCUUCAGUTT	ACUGAACUAUCAUGCUAGTT

**1.2.3 实时定量PCR检测mRNA转录水平** Trizol试剂法分别提取各组细胞的总RNA,取1μg RNA逆转录成cDNA,运用qRT-PCR检测SNHG3、N-cadherin、Snail、

Vimentin、E-cadherin和GAPDH的mRNA表达水平,其中GAPDH为内参,引物序列见表2。

表2 引物序列

Tab.2 Primer sequences for RT-PCR

Name	Forward primer (5'→3')	Reverse primer (5'→3')
SNHG3	CAAGCTTGATTCTCTAACTGCGCATGC	GCGGATCCTTCAGAAAAAAACTTTA
N-cadherin	CCATCAAGCCTGTGGGAATC	GCCGCTTAAGGCCCTCAT
Snail	TCCAGCAGCCCTACGACCAG	AGGCCGAGGTGGACGAGAA
Vimentin	TCTGGATTCACTCCCTCTGGTT	ATCGTGATGCTGAGAAGTTCGT
E-cadherin	CGAGAGCTACACGTTCACGG	GGGTGTCGAGGGAAAAATAGG
GAPDH	GATTGGTCGTATTGGCGC	TTCCCGTTCTCAGCCTTGAC

**1.2.4 CCK8实验** 将转染siRNA-1、2、3或siRNA-NC的宫颈癌SiHa细胞接种至96孔板中,约3000/孔,培养0、24、48、72、96h后,加入CCK-8试剂,混匀后放培养箱后继续培养,2h后酶标仪检测450nm处各孔细胞光密度 $A_{450\text{nm}}$ ,绘制生长曲线,每组设定5个复孔。

**1.2.5 划痕愈合实验** 将SiHa细胞按5.0×10<sup>5</sup>/孔的密度接种于6孔板,细胞融合度达60%~70%时转染,转染后6h或融合度达95%以上时,使用10μL小枪头在6孔板中间划线,PBS冲洗后,加入2mL双无培养基并拍照划痕,此时记为0、12、36h(或0、24和48h)后在各组细胞

相同位置拍照,后使用AdobeIllustrator软件计算0 h与12、36 h(或0、24和48 h)各组之间距离,根据公式:0 h距离-12 h距离/0 h距离和0 h距离-36 h距离/0 h(或0 h距离-24 h距离/0 h距离和0 h距离-48 h距离/0 h)距离计算平均划痕愈合率。

**1.2.6 Transwell 小室实验** Transwell小室实验分为纵向迁移和侵袭实验(侵袭实验进行前,需先于每个小室内加入35 μL基质胶,并置于37 °C孵箱内1 h)。细胞中转染siRNA,胰蛋白酶消化转染24 h后的各组细胞,双无培养基重悬制备细胞悬液,计数制成细胞密度分别为 $4 \times 10^4/\text{mL}$ (纵向迁移)和 $8 \times 10^4/\text{mL}$ (侵袭)的单细胞悬液,在小室上层添加单细胞悬液200 μL,下室添加600 μL含20%胎牛血清的培养基。迁移及侵袭实验24 h后将小室取出,PBS冲洗两次,用4%的多聚甲醛固定下层细胞,0.05%结晶紫染色后,PBS冲洗两次,用棉签将小室上层细胞轻轻擦拭下去,干燥后在倒置显微镜下对小室下层细胞拍照计数。

**1.2.7 Western blot检测EMT通路相关蛋白的表达水平** 收集对照组、实验组处理48 h后的SiHa细胞,提取细胞总蛋白质,BCA法检测蛋白质浓度,取35 μg蛋白质经10%的SDS-PAGE分离,恒流(210 mA)转移分离后

的蛋白质至PVDF膜上;5% BSA37 °C封闭2 h后,4 °C下分别加入一抗过夜孵育(E-cadherin/N-cadherin/Vimentin/Snail/β-actin 1:1000稀释);TBST洗去游离抗体,分别加入HRP标记的山羊抗兔IgG(1:5000稀释)或HRP标记的山羊抗小鼠IgG(1:5000稀释),37 °C孵育1 h;1×TBST洗膜10 min×3,HRP化学发光液显色。

### 1.3 统计分析

每组实验重复3次,使用GraphPad Prism 5.0软件进行统计学分析。对实验数据进行正态性检验,符合正态分布的数据采用均值±标准差的形式表示,并在方差齐性同时,使用单因素方差分析进行多组间比较,采用t检验进行组间两两比较, $P<0.05$ 为差异有统计学意义。

## 2 结果

### 2.1 LncRNA SNHG3基因在人宫颈癌中的表达

通过分析GEO数据库基因表达芯片(GSE9750、GSE27678)后发现,宫颈癌样本中SNHG3的表达高于正常宫颈组织(图1A)。同时,轻、重度宫颈鳞状上皮癌前病变样本中SNHG3表达均高于正常样本(图1B)。qRT-PCR结果显示,宫颈癌SiHa细胞中的SNHG3表达水平高于人正常上皮细胞HaCaT( $P<0.001$ ,图1C)。

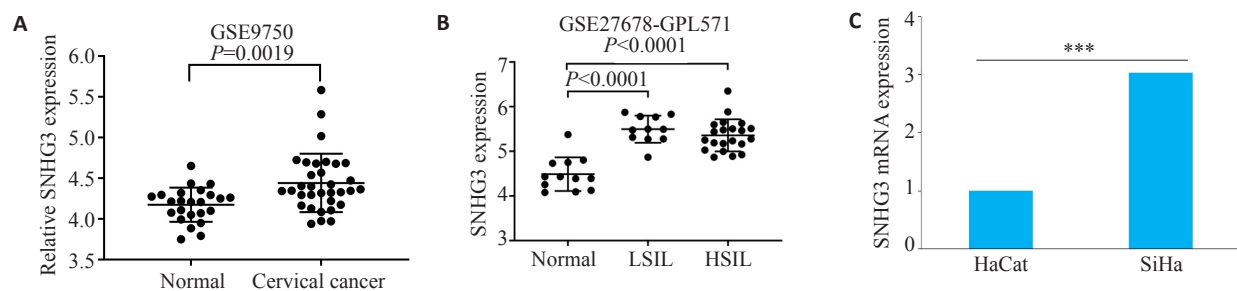


图1 SNHG3在宫颈癌组织及细胞株SiHa中高表达

Fig.1 SNHG3 is highly expressed in cervical cancer tissues and SiHa cells. A, B: RNA expression level of SNHG3 in cervical cancer samples. \*\*\* $P<0.001$  (Normal tissue vs cervical carcinoma). C: Expression of SNHG3 in HaCaT cells and SiHa cells detected by qRT-PCR (\*\* $P<0.001$ ).

### 2.2 LncRNA SNHG3在宫颈癌细胞SiHa中成功敲低

通过qRT-PCR结果显示,与对照组相比,siRNA-1可成功敲低内源性SNHG3( $P<0.001$ ,图2)。

### 2.3 LncRNA SNHG3促进宫颈癌细胞SiHa的增殖

CCK8实验显示,与对照组比较,敲低SNHG3组能抑制宫颈癌细胞SiHa的增殖能力,差异具有统计学意义( $P<0.001$ ,图3)。

### 2.4 LncRNA SNHG3促进宫颈癌细胞SiHa的迁移

划痕实验结果显示,与对照组相比,敲低lncRNA SNHG3后SiHa细胞划痕愈合率在24 h和48 h均有明显的降低( $P<0.001$ , $P<0.01$ ,图4A);Transwell小室纵向迁移实验结果显示,与对照组相比,敲低lncRNA

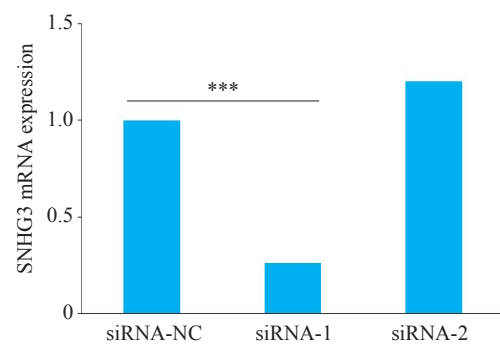


图2 SNHG3在宫颈癌细胞SiHa中成功敲低

Fig.2 SNHG3 was successfully knocked down in SiHa cells as shown by qRT-PCR (\*\* $P<0.001$ ).

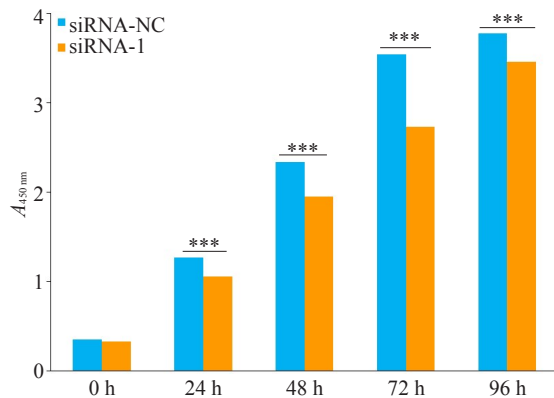


图3 SNHG3促进宫颈癌细胞SiHa的增殖

Fig.3 SNHG3 knockdown inhibits proliferation of SiHa cells examined using CCK8 assay (\*\* $P<0.001$ ).

SNHG3后 SiHa 细胞纵向迁移的细胞数量明显降低( $P<0.001$ ,图4B)。

### 2.5 LncRNA SNHG3促进宫颈癌细胞SiHa的侵袭能力

Transwell 侵袭实验结果显示,与对照组相比,敲低 SNHG3 可明显减少 SiHa 细胞的穿膜数量( $P<0.001$ ,图5)。

### 2.6 LncRNA SNHG3 促进人宫颈癌细胞 SiHa 的 EMT 进程

qRT-PCR 和 Western blot 结果显示,与对照组相比,敲低 SNHG3 后 SiHa 细胞内促 EMT 相关标志物 N-cadherin、Vimentin、Snail 的 mRNA 及蛋白质水平均显著降低( $P<0.001$ ),而上皮细胞的标志物 E-cadherin 的表达水平则显著升高( $P<0.001$ ,图6A,B)。

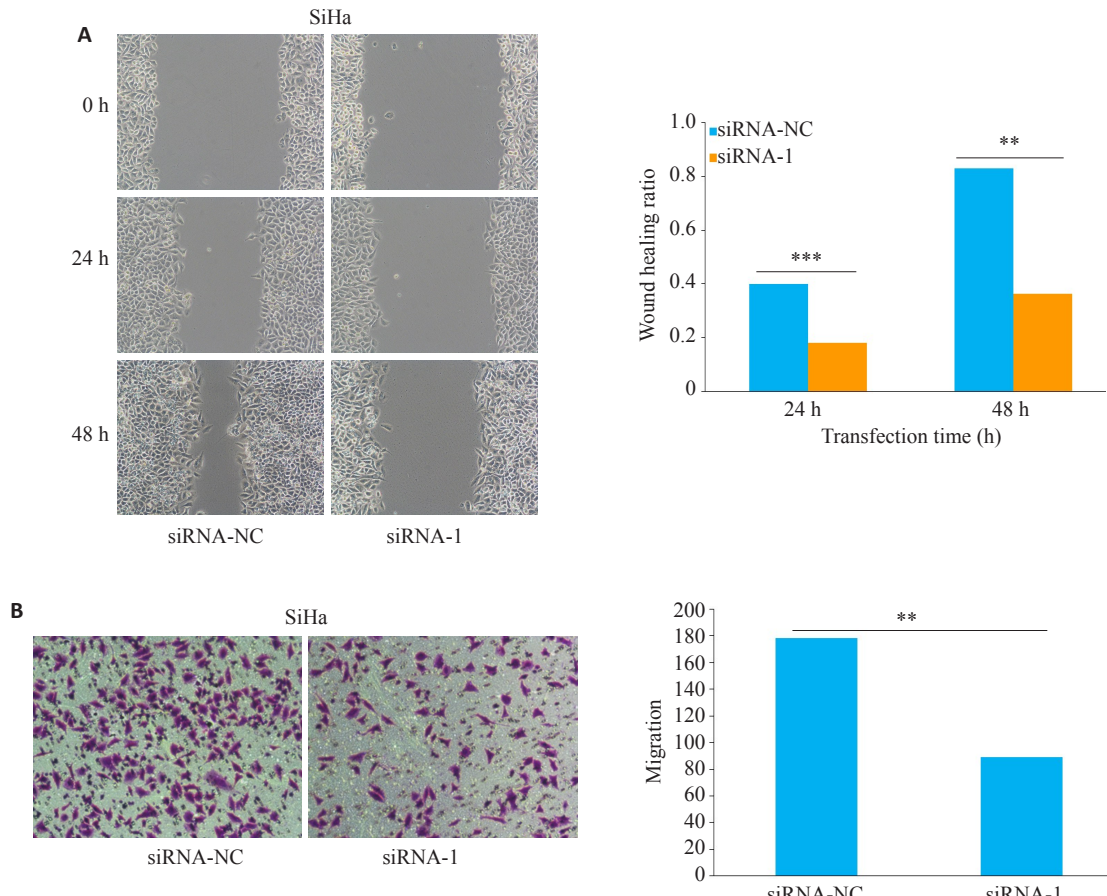


图4 SNHG3 促进宫颈癌 SiHa 细胞的迁移

Fig.4 SNHG3 knockdown inhibits migration of SiHa cells shown by wound healing assay (A) and Transwell migration assay (B) (Original magnification:  $\times 400$ ). \*\* $P<0.01$ , \*\*\* $P<0.001$ .

### 3 讨论

宫颈癌的发病率和死亡率均位列女性恶性肿瘤的第4位<sup>[14]</sup>。由于目前中国尚未有全国性的癌症筛查,在过去的几十年里中国宫颈癌的发病率仍不见降低<sup>[15]</sup>。近年来,靶向治疗逐渐成为宫颈癌治疗的重点<sup>[16]</sup>。研究表明,LncRNA 具有较高的组织特异性和稳定性,可能

成为潜在的治疗靶点并用于诊断或预后的生物标志物<sup>[17]</sup>。本研究通过 qRT-PCR 技术结合生物信息学分析发现 lncRNA SNHG3 在宫颈癌组织样本和细胞系中显著高表达。与此同时,目前已有的多篇文献报道, lncRNA SNHG3 在胃癌<sup>[18]</sup>、非小细胞肺癌<sup>[10]</sup>、胶质瘤、喉癌及前列腺癌<sup>[19-20]</sup>等多种肿瘤组织中的表达水平均明显

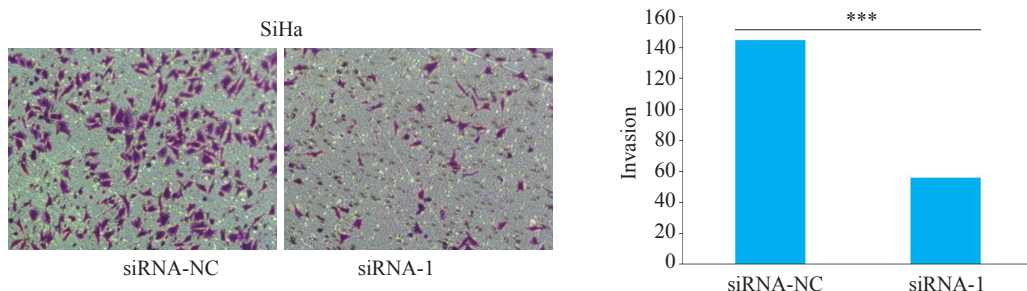


图5 SNHG3 促进宫颈癌SiHa细胞的侵袭

Fig.5 SNHG3 knockdown inhibits invasion of SiHa cells as shown by Transwell invasion assay ( $\times 400$ ). \*\*\*P<0.001.

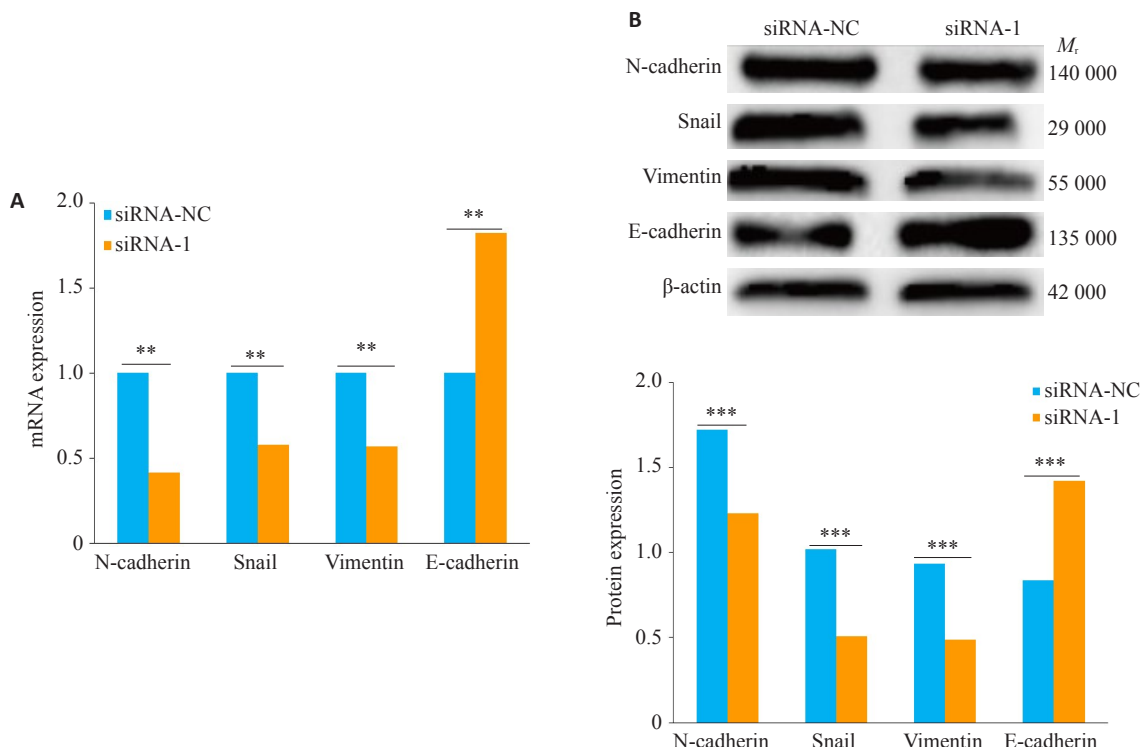


图6 SNHG3 激活 SiHa 细胞的 EMT 信号通路

Fig.6 Effects of SNHG3 knockdown on expressions of EMT markers in SiHa cells detected by qRT-PCR (A) and Western blotting (B). \*\*\*P<0.01, \*\*\*P<0.001.

高于其瘤旁组织。这些结果提示 lncRNA SNHG3 可作为宫颈癌中潜在的诊断及治疗靶标, lncRNA SNHG3 在宫颈癌细胞中的具体作用值得深入探讨。

长链非编码 RNA 可通过调控肿瘤细胞的增殖、侵袭和转移等恶性生物学行为, 影响肿瘤的发生发展<sup>[21]</sup>。研究表明, lncRNA SNHG3 通过 SNHG3/miR-216a/ZEB1 轴促进非小细胞肺癌的增殖、侵袭和侵袭<sup>[22]</sup>, 而在膀胱癌中 lncRNA SNHG3 可通过 SNHG3/miR-515-5p/GINS2 轴显著抑制癌细胞的增殖和迁移<sup>[23]</sup>。本研究通过 CCK8 细胞活性检测实验、划痕愈合实验及 Transwell 迁移、侵袭实验发现, 敲低 SNHG3 可明显抑制 SiHa 细胞的增殖、迁移及侵袭能力。以上结果表明, SNHG3 可

在多种肿瘤中发挥促癌作用。然而, 有研究发现作为一种新的肿瘤抑制因子, SNHG3 通过 AKT/mTOR/ERK 通路抑制甲状腺乳头状癌的增殖和转移<sup>[8]</sup>。由此, lncRNA SNHG3 在癌症中并非均为促癌基因, 其在不同肿瘤中的作用及分子机制尚需进一步阐明。

近年来, lncRNA、EMT 与肿瘤的相互关系已得到广泛研究<sup>[24-26]</sup>, 其中 lncRNA SNHG3 可以激活 EMT 进程来实现促进肿瘤细胞的增殖、迁移及侵袭<sup>[27]</sup>。EMT 即上皮-间质转化的过程, 同时伴随向继发部位的浸润。已有研究报道: 在肝癌细胞中, 过表达 lncRNA SNHG3 可通过 miR-128/CD151 通路激活 EMT 和促进增殖、侵袭<sup>[28]</sup>。同时, 本研究发现, 在宫颈癌 SiHa 细胞

中敲低SNHG3后,EMT中转移相关因子N-cadherin、SNAIL及Vimentin的mRNA和蛋白表达水平均显著下调,而E-cadherin的表达水平上调。这就表明SNHG3极有可能通过激活EMT在宫颈癌SiHa细胞中实现促癌作用。

综上所述,本研究首次发现lncRNA SNHG3在宫颈癌中高表达,SNHG3可能通过激活EMT促进宫颈癌细胞的增殖、迁移及侵袭能力,但在宫颈癌细胞中lncRNA SNHG3激活EMT的具体分子机制有待进一步的分析。

## 参考文献:

- [1] Bray F, Ferlay J, Soerjomataram I, et al. Global cancer statistics 2018: GLOBOCAN estimates of incidence and mortality worldwide for 36 cancers in 185 countries[J]. CA: A Cancer J Clin, 2018, 68(6): 394-424.
- [2] Small W, Bacon MA, Bajaj A, et al. Cervical cancer: a global health crisis[J]. Cancer, 2017, 123(13): 2404-12.
- [3] Chen W, Zheng R, Baade PD, et al. Cancer statistics in China, 2015 [J]. CA Cancer J Clin, 2016, 66(2): 115-32.
- [4] Wei W, Liu C. Prognostic and predictive roles of microRNA-411 and its target STK17A in evaluating radiotherapy efficacy and their effects on cell migration and invasion via the p53 signaling pathway in cervical cancer[J]. Mol Med Rep, 2020, 21(1): 267-81.
- [5] Guo QZ, Li L, Bo QM, et al. Long noncoding RNA PITPNA-AS1 promotes cervical cancer progression through regulating the cell cycle and apoptosis by targeting the miR-876-5p/c-MET axis [J]. Biomed Pharmacother, 2020, 128: 110072-9.
- [6] Wang HS, Zhang W, Zhu HL, et al. Long noncoding RNA SNHG6 mainly functions as a competing endogenous RNA in human tumors [J]. Cancer Cell Int, 2020, 20: 219-26.
- [7] Xu J, Yang BH, Wang LF, et al. LncRNA BBOX1-AS1 upregulates HOXC6 expression through miR-361-3p and HuR to drive cervical cancer progression[J]. Cell Prolif, 2020, 53(7): e12823-31.
- [8] Duan Y, Wang Z, Xu L, et al. lncRNA SNHG3 Acts as a novel tumor suppressor and regulates tumor proliferation and metastasis via AKT/mTOR/ERK pathway in papillary thyroid carcinoma [J]. J Cancer, 2020, 11(12): 3492-501.
- [9] Liu L, Ni J, He X. Upregulation of the long noncoding RNA SNHG3 promotes lung adenocarcinoma proliferation[J]. Dis Markers, 2018, 2018: 5736716-25.
- [10] Shi J, Li J, Yang S, et al. LncRNA SNHG3 is activated by E2F1 and promotes proliferation and migration of non-small-cell lung cancer cells through activating TGF-β pathway and IL-6/JAK2/STAT3 pathway[J]. J Cell Physiol, 2020, 235(3): 2891-900.
- [11] Ma Q, Qi X, Lin X, et al. LncRNA SNHG3 promotes cell proliferation and invasion through the miR-384/hepatoma-derived growth factor axis in breast cancer[J]. Hum Cell, 2020, 33(1): 232-42.
- [12] Zheng S, Jiang F, Ge D, et al. LncRNA SNHG3/miRNA-151a-3p/RAB22A axis regulates invasion and migration of osteosarcoma[J]. Biomed Pharmacother, 2019, 112: 108695-703.
- [13] Li T, Xing Y, Yang F, et al. LncRNA SNHG3 sponges miR-577 to upregulate SMURF1 expression in prostate cancer [J]. Cancer Med, 2020, 9(11): 3852-62.
- [14] Sung H, Ferlay J, Siegel RL, et al. Global cancer statistics 2020: GLOBOCAN estimates of incidence and mortality worldwide for 36 cancers in 185 countries[J]. CA Cancer J Clin, 2021, 71(3): 209-49.
- [15] Feng RM, Zong YN, Cao SM, et al. Current cancer situation in China: good or bad news from the 2018 global cancer statistics? [J]. Cancer Commun, 2019, 39(1): 22-30.
- [16] Wang Q, Liu F, Wang L, et al. Enhanced and prolonged antitumor effect of salinomycin-loaded gelatinase-responsive nanoparticles via targeted drug delivery and inhibition of cervical cancer stem cells [J]. Int J Nanomedicine, 2020, 15: 1283-95.
- [17] Xu B, Mei J, Ji W, et al. LncRNA SNHG3, a potential oncogene in human cancers[J]. Cancer Cell Int, 2020, 20(1): 536-45.
- [18] Sun B, Han Y, Cai H, et al. Long non-coding RNA SNHG3, induced by IL-6/STAT3 transactivation, promotes stem cell-like properties of gastric cancer cells by regulating the miR-3619-5p/ARL2 axis [J]. Cell Oncol: Dordr, 2021, 44(1): 179-92.
- [19] Zimta AA, Tigu AB, Braicu C, et al. An emerging class of long non-coding RNA with oncogenic role arises from the snoRNA host genes [J]. Front Oncol, 2020, 10: 389.
- [20] Yang H, Jiang Z, Wang S, et al. Long non-coding small nucleolar RNA host genes in digestive cancers[J]. Cancer Med, 2019, 8(18): 7693-704.
- [21] Cai B, Ma W, Bi C, et al. Long noncoding RNA H19 mediates melatonin inhibition of premature senescence of c-kit(+) cardiac progenitor cells by promoting miR-675 [J]. J Pineal Res, 2016, 61(1): 82-95.
- [22] Zhao SS, Gao XY, Zhong CL, et al. SNHG3 knockdown suppresses proliferation, migration and invasion, and promotes apoptosis in non-small cell lung cancer through regulating miR-216a/ZEB1 axis [J]. Oncotargets Ther, 2020, 13: 11327-36.
- [23] Dai G, Huang C, Yang J, et al. LncRNA SNHG3 promotes bladder cancer proliferation and metastasis through miR-515-5p/GINS2 axis [J]. J Cell Mol Med, 2020, 24(16): 9231-43.
- [24] Hou ZH, Xu XW, Fu XY, et al. HBx-related long non-coding RNA MALAT1 promotes cell metastasis via up-regulating LTBP3 in hepatocellular carcinoma[J]. Am J Cancer Res, 2017, 7(4): 845-56.
- [25] Hu Q, Li C, Wang S, et al. LncRNAs-directed PTEN enzymatic switch governs epithelial-mesenchymal transition [J]. Cell Res, 2019, 29(4): 286-304.
- [26] McCabe EM, Rasmussen TP. lncRNA involvement in cancer stem cell function and epithelial-mesenchymal transitions[J/OL]. Semin Cancer Biol, 2020. DOI: 10.1016/j.semcan.2020.12.012.
- [27] Ashrafizadeh M, Gholami MH, Mirzaei S, et al. Dual relationship between long non-coding RNAs and STAT3 signaling in different cancers: New insight to proliferation and metastasis [J]. Life Sci, 2021, 270: 119006.
- [28] Zhang PF, Wang F, Wu J, et al. LncRNA SNHG3 induces EMT and sorafenib resistance by modulating the miR-128/CD151 pathway in hepatocellular carcinoma[J]. J Cell Physiol, 2019, 234(3): 2788-94.

(编辑:林萍)